



خبر/مقالات/بانک سوال/فروشگاه

## با عضویت در سایت ما

نیاز به عضویت در هیچ سایت کنکور دیگری را ندارید

## برخی از خدمات ویژه سایت ما:

- ✓ ارسال آخرین اخبار کنکور از طریق ایمیل به صورت کاملا رایگان
- ✓ ارسال آخرین اخبار کنکور از طریق پیامک (سالیانه ۲۰۰۰ تومان)
- ✓ ارایه دهنده نمونه سوالات کنکور همه رشته ها به صورت رایگان

با ما با خیالی راحت به سراغ کنکور بروید

چنانچه نمونه سوالی را پیدا نمی کنید

در قسمت "تماس با ما" درخواست دهید تا در اولین فرصت در اختیار شما قرار گیرد

332

F

نام

نام خانوادگی

محل امضاء



صبح جمعه

۹۱/۱۲/۱۸

دفترچه شماره ۱



اگر دانشگاه اصلاح شود مملکت اصلاح می‌شود.  
اعلام خمینی (ره)

جمهوری اسلامی ایران  
وزارت علوم، تحقیقات و فناوری  
سازمان سنجش آموزش کشور

**آزمون ورودی  
دوره‌های دکتری (نیمه مرکز) داخل  
در سال ۱۳۹۲**

**رشته‌ی  
مهندسی عمران (نقشه‌برداری) – سنجش از دور (کد ۲۳۱۹)**

مدت پاسخگویی: ۱۵۰ دقیقه

تعداد سؤال: ۴۵

عنوان مواد امتحانی، تعداد و شماره سوالات

ردیف	مواد امتحانی	تعداد سؤال	از شماره	نا شماره
۱	مجموعه دروس تخصصی (فتومتری و ریزدزی، پردازش رقومی تصاویر سنجش از دور، کاربردهای سنجش از دور)	۴۵	۱	۴۵

این آزمون نمره منفی دارد

**اسفندماه سال ۱۳۹۱**

استفاده از ماهین حساب سجاز نمی‌باشد

- ۱ برای تهیه ارتوفوتو حقیقی (True orthoimage) از لحاظ تعداد کمینه عکس و کاهش نواحی پنهان، کدام حالت بهینه است؟
- (۱) پوشش طولی ۶۰ و بروش عرضی ۳۰
  - (۲) پوشش طولی ۶۰ و بروش عرضی ۶۰
  - (۳) پوشش طولی ۶۰ و پوشش عرضی ۸۰
- ۲ تغییر شکل مدل (Model Deformation) ناشی از پارالاکس‌های باقیمانده در مدل، با کدام چند جمله‌ای قابل مدل‌سازی است؟
- $$dz = a_0 + a_1x + a_2y + a_3xy + a_4x^2 \quad (۱)$$
- $$dz = a_0 + a_1x + a_2y \quad (۲)$$
- $$dz = a_0 + a_1x + a_2y + a_3xy \quad (۳)$$
- ۳ در مورد به کارگیری دوربین‌های هوایی رقومی و لیدار برای تهیه نقشه، چه می‌توان گفت؟
- (۱) لیدار توپوگرافی زمین را بدون هیچ گونه خطایی به طور مستقیم به دست می‌دهد، اما فتوگرامتری هوایی نیاز به مثلث‌بندی هوایی و تناظریابی تصویری دارد.
  - (۲) لیدار در صورت کالبیره بودن و عملکرد درست GPS/IMU مناسب برای تهیه مدل رقومی زمین است؛ و در تهیه نقشه، یک فناوری مکمل فتوگرامتری هوایی محسوب می‌شود.
  - (۳) لیدار روشی سریع‌تر و دقیق‌تر است، زیرا در آن از GPS/IMU دقیق‌تر استفاده شده است.
  - (۴) لیدار روشی سریع‌تر است، اما کیفیت تهیه نقشه آن کمتر از فتوگرامتری هوایی رقومی است.
- ۴ برای تهیه نقشه ۱:۵۰۰ با منحنی میزان ۲۵ سانتی‌متر به روشن فتوگرامتری هوایی، از یک دوربین رقومی با ابعاد پیکسل ۲ سیکرون و فاصله کانونی ۱۰ میلی‌متر استفاده شده است. اگر C-Factor سیستم تصویربرداری ۴۰۰ باشد، تصویربرداری با چه ابعاد پیکسل زمینی لازم است؟ (به میلی‌متر)
- $$20 \quad (۱)$$
- $$50 \quad (۲)$$
- $$40 \quad (۳)$$
- ۵ در یک شبکه فتوگرامتری هوایی که دارای ۱۰۰۰ عکس در ۲۰ نوار با پوشش طولی ۶ درصد و عرض ۳۰ درصد است؛ اگر مشاهدات اضافی GPS/IMU را به شبکه معرفی کنیم، درجه آزادی چقدر افزایش می‌یابد؟ برای IMU خطای bore sight angle و برای GPS خطای level arm shift & drift را در نظر بگیرید.
- $$3877 \quad (۱)$$
- $$5877 \quad (۲)$$
- $$3991 \quad (۳)$$
- ۶ در صورتی که  $A_1$  و  $A_2$  به ترتیب دو بردار مربوط به مختصات عکسی یک زوج نقطه متناظر، در دو تصویر  $A_1$  و  $A_2$  بردارهای متناظر آن‌ها پس از توجیه نسبی در فضای مدل باشد، طی معادلات شوط هم صفحه‌ای:
- (۱) بردارهای  $A_1$  و  $A_2$  باز مدل، در یک صفحه قرار دارند.
  - (۲) بردارهای  $A_1$  و  $A_2$  باز مدل، در یک صفحه قرار دارند.
  - (۳) کلیه بردارهای  $a_1$ ،  $a_2$  و  $A_1$ ،  $A_2$ ، در یک صفحه قرار دارند.
  - (۴)  $a_1$  و  $a_2$  در یک صفحه قرار دارند.
- ۷ در صورتی که تصویربرداری پانورامیک (Panoramic) مدنظر باشد، و عدسی آینه تحت زاویه  $\theta$  عمل جاروب (Scan) کردن را انجام دهد:
- (۱) هندسه تصویربرداری در حالت شرط هم خطی، برقرار نیست.
  - (۲) این زاویه تأثیری در هندسه تصویربرداری ندارد، و معادلات شرط هم خطی در حالت استاندارد برقرار است.
  - (۳) این زاویه باعث می‌شود تیلت محور  $y$  دوربین ( $\phi$ ) با مقدار ثابتی افزایش یابد، و معادلات شرط هم خطی برقرار نباشد.
  - (۴) این زاویه باعث می‌شود تیلت محور  $X$  دوربین ( $\psi$ ) با مقدار ثابتی افزایش یابد، که باید این دوران در معادلات شرط هم خطی، در نظر گرفته شود.

- ۸ در استخراج پارامترهای دورانی و انتقالی، توجیه خارجی به کمک معادلات DLT (Direct Linear Transformation) DLT
- ۱) توسط معادلات DLT، نمی‌توان توجیه خارجی را حل کرد.
  - ۲) پارامترهای دورانی و انتقالی، هم‌زمان محاسبه می‌شوند.
  - ۳) ابتدا پارامترهای دورانی توسط ضرایب تبدیل DLT تعیین می‌شوند، و سپس پارامترهای انتقالی محاسبه می‌شوند.
  - ۴) ابتدا پارامترهای انتقالی توسط ضرایب تبدیل DLT تعیین می‌شوند، و سپس پارامترهای دورانی محاسبه می‌شوند.
- ۹ در طراحی نقاط کنترل مسطحاتی یک بلوک فتوگرامتری:
- ۱) انتخاب نقاط داخل بلوک، تأثیری در دقت مسطحاتی نمی‌گذارد، و در حالی که نقاط متراکم و فشرده طراحی شوند، دقت مستقل از اندازه بلوک است.
  - ۲) در صورتی که نقاط مسطحاتی متراکم طراحی شوند، به طوری که هر دو باز، یک نقطه گرفته شود، تنها گرفتن نقاط در نوار بالا و پایین بلوک کافی است.
  - ۳) در صورتی که نقاط متراکم طراحی شوند، دقت مسطحاتی وابسته به اندازه بلوک است.
  - ۴) نقاط باید داخل بلوک هم طراحی شوند، ولی در صورتی که نقاط متراکم طراحی شوند، دقت مستقل از اندازه بلوک می‌شود.
- ۱۰ در کدام یک از موارد زیر، نیازی به تصحیح اتحانی زمین در فتوگرامتری نداریم؟
- ۱) در صورتی که تهیه نقصه نسبت به یک سیستم مختصات سه بعدی انجام شود، به عبارتی صفحه تصویر کروی باشد.
  - ۲) چون خطوا وابسته به فاصله کانونی دوربین است، می‌توان با انتخاب دوربین مناسب آن را کم کرد.
  - ۳) همواره در کارهای فتوگرامتری لازم است این تصحیح انجام شود.
  - ۴) این تصحیح می‌تواند حذف شود، در صورتی که زمین مسطح باشد.
- ۱۱ گزینه صحیح کدام است؟
- ۱) در گیرندهای squaring، زمان جستجو برای یافتن ابهام‌های صحیح، افزایش می‌یابد.
  - ۲) گیرندهای Cross Correlation و squaring، جزء گیرندهای codeless هستند.
  - ۳) در گیرندهای تک فرکانس کد  $\frac{C}{A}$ ، از تکنیک Code Correlation استفاده می‌شود.
  - ۴) همه موارد
- ۱۲ در **GPS modernization**
- ۱) اولین گام حذف اثر AS (Anti-Spoofing) است.
  - ۲) سیگنال‌های L1C.L4.L2C.L1C و کد M به سیستم اضافه می‌شوند.
  - ۳) سیگنال‌های L3.L2C.L1C و کد M، به سیستم اضافه می‌شوند.
  - ۴) هیچ کدام
- ۱۳ در روش **Wide Laning**
- ۱) طول موج حاصله نسبت به طول موج اولیه، بیشتر است.
  - ۲) نویز حاصله، کمتر از Narrow Laning است.
  - ۳) یافتن ابهام فاز صحیح، مشکل‌تر است.
  - ۴) همه موارد
- ۱۴ فرمول رو به رو، در مورد کدام یک از موارد زیر صادق است:
- $$R = R_T(-\Omega)R_1(-i)R_T(-\omega)r$$
- ۱) تبدیل سیستم مداری به سیستم CT
  - ۲) تبدیل سیستم مداری به سیستم RA
  - ۳) تبدیل سیستم CT به سیستم مداری
  - ۴) هیچ کدام
- ۱۵ در یک عملیات استاتیک، با استفاده از فاز موج حامل و روش تفاضلی دو گانه گیرنده - ماهواره، با مشاهده به ۶ ماهواره در ۳ آیک مشاهداتی، تعداد مجھولات و معلومات در معادلات مشاهدات عبارتند از:
- ۱) ۹ و ۱۵
  - ۲) ۸ و ۱۵
  - ۳) ۸ و ۱۸
  - ۴) ۱۲ و ۱۸

-۱۶ چنانچه اختلاف جرم بیضوی مرجع و زمین را با  $\delta M$  و اختلاف پتانسیل روی سطح بیضوی مرجع را با  $U$  و پتانسیل در سطح ژئوپوتیوی را با  $W = W_e - U$  نشان دهیم، هارمونیک درجه صفر ارتفاع ژئوپوتیوی با کدام رابطه، معین می‌شود؟

$$\frac{G\delta M}{\gamma_e} - \frac{\delta W}{\gamma_e} \quad (۲)$$

$$\frac{G\delta M}{R\gamma_e} - \frac{\delta W}{\gamma_e} \quad (۳)$$

$$\frac{G\delta M}{\gamma_e} + \frac{\delta W}{\gamma_e} \quad (۱)$$

$$\frac{G\delta M}{R\gamma_e} + \frac{\delta W}{\gamma_e} \quad (۴)$$

-۱۷

ارتفاع ارتمتیک هلمرت به کدام صورت زیر تعریف می‌شود؟

(ارتفاع ارتمتیک نقطه دلخواه A با  $H_A$  و شتاب ثقل اندازه‌گیری شده در نقطه A با  $g_A$  نشان داده می‌شود.)

$$H_A^o = \frac{C_A}{g_A + \gamma_e 424 H_A} \quad (۵)$$

$$H_A^e = \frac{C_A}{g_A - \gamma_e 424 H_A} \quad (۶)$$

$$H_A^c = \frac{C_A}{g_A - \gamma_e 848 H_A} \quad (۷)$$

$$H_A^r = \frac{C_A}{g_A + \gamma_e 848 H_A} \quad (۸)$$

-۱۸

ارتباط بین سیستم‌های LA و CT به کدام صورت است؟

$$\bar{e}^{LA} = R_\gamma(\pi - \Lambda)R_\gamma(\frac{1}{2}\pi - \Phi)P_\gamma \bar{e}^{LA} \quad (۹)$$

$$\bar{e}^{LA} = R_\gamma(\frac{1}{2}\pi - \Phi)R_\gamma(\pi - \Lambda)P_\gamma \bar{e}^{LA} \quad (۱۰)$$

$$\bar{e}^{CT} = R_\gamma(\pi - \Lambda)R_\gamma(\frac{1}{2}\pi - \Phi)P_\gamma \bar{e}^{LA} \quad (۱۱)$$

$$\bar{e}^{CT} = R_\gamma(\frac{1}{2}\pi - \Phi)R_\gamma(\pi - \Lambda)P_\gamma \bar{e}^{LA} \quad (۱۲)$$

-۱۹

در سیستم‌های تصویر متشابه، همگرایی نصف‌النهارات  $\gamma$  به کدام صورت تعریف می‌شود؟

$$\cot g\gamma = -\frac{\frac{\partial y}{\partial x}}{\frac{\partial \lambda}{\partial x}} \quad (۱۳)$$

$$\cot g\gamma = -\frac{\frac{\partial y}{\partial q}}{\frac{\partial \lambda}{\partial q}} \quad (۱۴)$$

$$\cot g\gamma = \frac{\frac{\partial y}{\partial x}}{\frac{\partial \lambda}{\partial q}} \quad (۱۵)$$

$$\cot g\gamma = \frac{\frac{\partial y}{\partial x}}{\frac{\partial \lambda}{\partial q}} \quad (۱۶)$$

-۲۰

در بلوک‌های اقیانوسی، براساس مدل ایری ضد ریشه ( $R_i'$ ، az کدام رابطه محاسبه می‌شود؟

)  $\sigma_m$ ،  $\sigma_o$ ،  $\sigma_w$  و  $di$  به ترتیب چگالی نرمال، چگالی گوشته بالایی و عمق اقیانوس هستند)

$$R_i' = \frac{\sigma_m - \sigma_o}{\sigma_o - \sigma_w} di \quad (۱۷)$$

$$R_i' = \frac{\sigma_o - \sigma_w}{\sigma_m - \sigma_o} \quad (۱۸)$$

$$R_i' = \frac{\sigma_m}{\sigma_o - \sigma_w} \quad (۱۹)$$

$$R_i' = \frac{\sigma_o - \sigma_w}{\sigma_m - \sigma_o} di \quad (۲۰)$$

-۲۱

کدام یک از موارد زیر، درباره پدیده **Vignetting** در تصاویر ماهواره‌ای، صحیح می‌باشد؟

- ۱) این پدیده مربوط به تصحیحات رادیومتریکی ناشی از اثرات حساسیت سنجنده بوده؛ و باعث می‌شود در تصاویر سنجنده‌های اپتیکی که از لنز استفاده می‌کنند، مناطق مربوط به گوشش‌های تصویر تاریک‌تر به نظر برسند.
- ۲) این پدیده مربوط به تصحیحات رادیومتریکی ناشی از اثرات اتصافی بوده؛ و به علت جذب (absorption) و بخش (scattering) انجام شده توسط اتصاف بر روی تشبعات رسیده به سنجنده، به وجود می‌آید.
- ۳) این پدیده مربوط به تصحیحات رادیومتریکی ناشی از زاویه خورشید بوده؛ و به علت پخش و انعکاس پرتوهای خورشید، مناطقی از تصویر، روشن‌تر به نظر می‌رسند.
- ۴) این پدیده مربوط به تصحیحات رادیومتریکی ناشی از توبراکرافی بوده؛ و باعث می‌گردد تا مناطقی از تصویر به علت ایجاد سایه، تاریک‌تر به نظر برسند.

-۲۲

اگر نمادهای  $\oplus$  و  $\ominus$  به ترتیب نمایانگر عملگرهای مورفولوژی **Erosion** و **Dilation** باشند، کدام یک از روابط زیر می‌تواند برای استخراج مرز عوارض در تصاویر رقومی، مزده استفاده قرار گیرند؟ (B) کرنل سازنده (Structuring element) و A و

مجموعه نشان دهنده عارضه می‌باشد)

$$A - (A \oplus B) \quad (۱) \quad (A \ominus B) - A \quad (۲)$$

$$A - (A \ominus B) \quad (۳) \quad (A \oplus B) - B \quad (۴)$$

-۲۳

درباره فیلتر گذاری مکانی (spatial filtering) کدام گزینه، صحیح نمی‌باشد؟

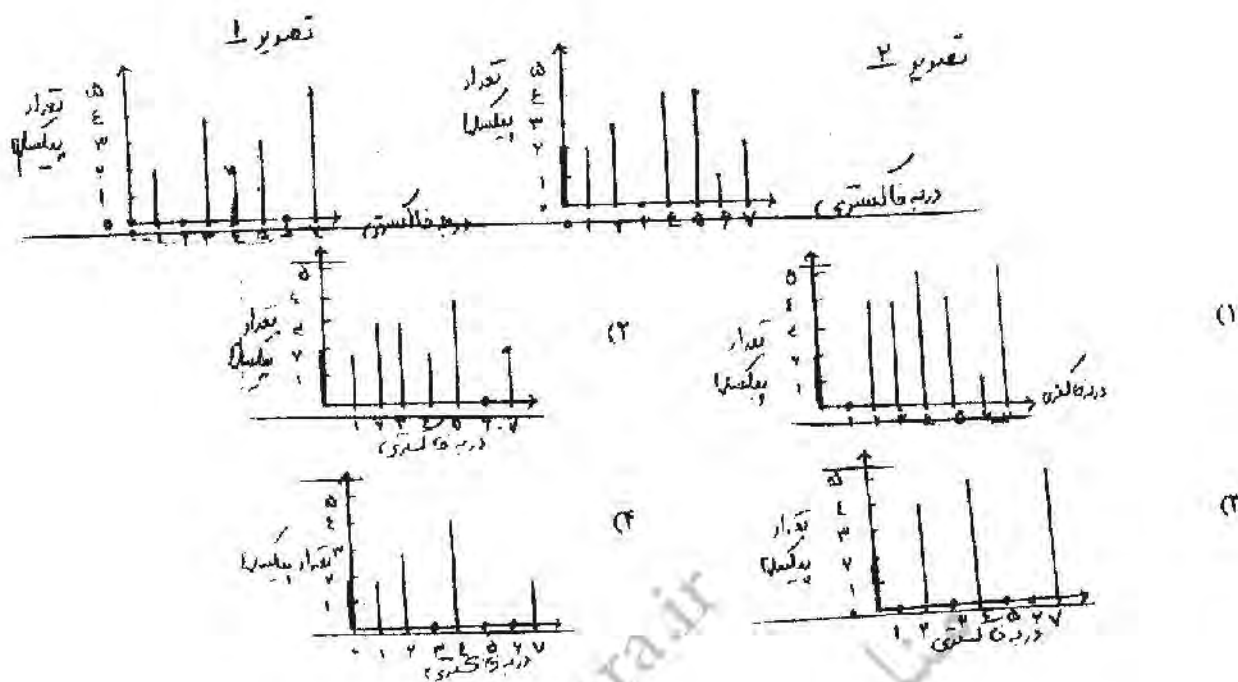
- ۱) فیلترهای مکانی باززنده (sharpening)، تصویر از نوع مشتقات مرتبه دوم نسبت به فیلترهای باززنده از نوع مشتقات مرتبه اول در تشخیص خطوط نازک در تصویر کارآمدترند.
- ۲) با استفاده از فیلترهای بالاگذر (High pass)، می‌توان اثر منحنی‌های اشتباه (false contour) را که در اثر عدم استفاده از تعداد سطوح خاکستری مناسب به وجود می‌اید، برطرف نمود.
- ۳) در اثر اجرای فیلترهای پایین گذر (Low pass filter) نویز تصویر کاهش می‌یابد، اما لبه‌های تصویر مات (Blur) می‌گردند.
- ۴) اثر مات‌شدنگی (Blurring)، ناشی از اجرای فیلتر میانه (Median) نسبت به فیلترهای خطی مانند (L.ow pass)، کمتر است.

-۲۴

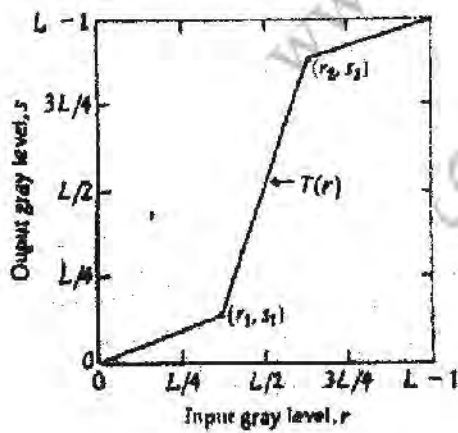
درباره اجرای فیلترهای بازسازی تصویر، در حوزه فرکانس، کدام مورد صحیح می‌باشد؟

- ۱) در فیلتر Ideal برخلاف فیلتر Butter worth فرکانس قطع (Cut off frequency)، به صورت واضح مشخص است.
- ۲) در اثر اجرای فیلتر پایین گذر Ideal، اثرات حلقوی (Ringing) در تصویر به وجود می‌آید.
- ۳) فیلتر Butter worth با درجات بالا، شبیه یک فیلتر Ideal عمل می‌کند.
- ۴) همه موارد صحیح می‌باشند.

-۲۵- کدام گزینه، نشان دهنده هیستوگرام تصویر سه بیتی شماره ۱، بعد از عمل Histogram matching با استفاده از تصویر سه بیتی شماره ۲ می‌باشد؟



-۲۶- برای افزایش کنترast (Contrast Stretching)، از تابع تبدیل قطعه - خطی (piecewise-linear) استفاده شده است. نحوه انجام تبدیل در شکل زیر از طریق نقاط  $(r_1, s_1)$  و  $(r_2, s_2)$  کنترول می‌شود. کدام گزینه اشتباه است؟



- (۱) اگر  $r_1 = 0$  و  $s_1 = L-1$  و  $r_2 < s_2$  باشد، این تبدیل یک تابع خطی خواهد بود، که مقادیر  $r_1$  تا  $r_2$  را بهبود می‌بخشد.
- (۲) اگر  $r_1 = 0$  و  $s_1 = r_2 = L-1$  و  $s_2 = L-1$  باشد، این تبدیل یک تابع حد آستانه‌ای خواهد بود، و تصویر را بازتری می‌کند.
- (۳) اگر  $r_1 = 0$  و  $s_1 = L-1$  و  $r_2 > s_2$  باشد، این تبدیل یک تابع خطی خواهد بود، که مقادیر  $r_1$  تا  $r_2$  را بهبود می‌بخشد.
- (۴) اگر  $r_1 = r_2 = s_1 = s_2$  باشد، این تبدیل یک تابع خطی خواهد بود، که هیچ تغییری در سطوح خاکستری ایجاد نمی‌کند.

-۲۷

توزیع مؤلفه‌های هیستوگرام یک تصویر تیره و با کنتراس است پایین، چگونه است؟

(۱) متمایل به راست و با اختلاف کم بین ماگزینم و مینیمم

(۲) متمایل به چپ و با اختلاف کم بین ماگزینم و مینیمم

(۳) متمایل به چپ و با اختلاف زیاد بین ماگزینم و مینیمم

(۴) متمایل به وسط و با اختلاف کم بین ماگزینم و مینیمم

-۲۸

کدام گزینه برای فیلتر Unsharp masking در حیطه مکان، صحیح است؟

(۱)  $f(x, y) = f(x, y) + \bar{f}(x, y)$  تصویر sharp شده است.(۲)  $f(x, y) = f(x, y) + \bar{f}(x, y)$  تصویر smooth شده است.(۳)  $f(x, y) = f(x, y) - \bar{f}(x, y)$  smooth شده است.(۴)  $f(x, y) = f(x, y) - \bar{f}(x, y)$  sharp شده است.

-۲۹

فیلتر بالاگذر Butterworth در حیطه فرکانس  $(D_s = \text{cut off frequency})$  در حیطه مکان، کدام است؟

$$H(u, v) = \frac{1}{1 + \left[ \frac{D(u, v)}{D_c} \right]^n} \quad (۵)$$

$$H(u, v) = \frac{1}{1 + \left[ \frac{D_o}{D(u, v)} \right]^n} \quad (۶)$$

$$H(u, v) = \frac{1}{1 + \left[ \frac{D_o}{D(u, v)} \right]^n} \quad (۷)$$

$$H(u, v) = \frac{1}{1 + \left[ \frac{D(u, v)}{D_c} \right]^n} \quad (۸)$$

-۳۰

برای فشرده‌سازی یک پیام که به صورت جدول زیر کدگذاری شده است، با استفاده از روش کدگذاری هافمن (Huffman) کدام گزینه، کد کاراکترها را نشان می‌دهد؟ (encoding)

Character	A	B	C	D	E
Frequency of character	16	14	11	28	31

A	B	C	D	E
100	11	00	01	101

A	B	C	D	E
11	100	101	01	00

A	B	C	D	E
00	01	11	100	101

A	B	C	D	E
101	100	11	01	00

-۳۱

مؤلفه‌های فرکانس بالا در طیف دامنه تصویر در حیطه فرکانس، بیانگر چه اطلاعاتی هستند؟

۱) درجات تیره تصویر

۲) درجات روشن تصویر

۳) تغییرات ناگهانی و لبه‌های تصویر

۴) تغییرات تدریجی و زمینه تصویر

-۳۲

در مورد فیلتر Laplacian در حیطه مکان، کدام گزینه صحیح است؟

۱) اگر وزن عنصر وسط فیلتر Laplacian دارای مقدار مثبت باشد، از رابطه زیر برای sharp کردن تصویر استفاده می‌شود.

$$g(x, y) = f(x, y) - \nabla^2 f(x, y)$$

۲) اگر وزن عنصر وسط فیلتر Laplacian دارای مقدار منفی باشد، از رابطه زیر برای smooth کردن تصویر استفاده می‌شود.

$$g(x, y) = f(x, y) + \nabla^2 f(x, y)$$

۳) اگر وزن عنصر وسط فیلتر Laplacian دارای مقدار منفی باشد، از رابطه زیر برای sharp کردن تصویر استفاده می‌شود.

$$g(x, y) = f(x, y) - \nabla^2 f(x, y)$$

۴) اگر وزن عنصر وسط فیلتر Laplacian دارای مقدار مثبت باشد، از رابطه زیر برای smooth کردن تصویر استفاده می‌شود.

$$g(x, y) = f(x, y) + \nabla^2 f(x, y)$$

-۳۳

در دو مجموعه از داده‌ها که اطلاعات یکسانی را ارائه می‌دهند، اگر  $n_1$  و  $n_2$  نشان دهنده تعداد واحدهای حمل کننده اطلاعات باشند،  $R_D$  یعنی افزونگی نسبی داده‌ها (Relative data redundancy) برای مجموعه داده اول ( $n_1$ ) نسبت به مجموعه داده دوم ( $n_2$ ) به صورت زیر تعریف می‌شود:

$$(1) R_D = 1 + \frac{1}{C_R} \quad C_R = \frac{n_2}{n_1}$$

$$(2) R_D = 1 + \frac{1}{C_R} \quad C_R = \frac{n_1}{n_2}$$

$$(3) R_D = 1 - \frac{1}{C_R} \quad C_R = \frac{n_1}{n_2}$$

$$(4) R_D = 1 - \frac{1}{C_R} \quad C_R = \frac{n_2}{n_1}$$

-۳۴

بیشترین تشعشع یک جسم سیاه (black body) بعد از محدوده مادون قرمز حرارتی، در کدام بخش از طیف الکترومغناطیسی دخ می‌دهد؟

۱) مادون قرمز نزدیک ۲) مازو، بنسن ۳) مایکروویو ۴) مرئی

-۳۵

توان تفکیک مکانی یک سنجنده مایکروویو غیرفعال (Passive) با طول موج ۳cm و قطر آتن ۱/۵ متر در فاصله ۱۰۰۰ km، تقریباً چند کیلومتر است؟

۱) ۵ (۲)

۲) ۵۰ (۴)

۳) ۲ (۱)

۴) ۲۰ (۳)

-۳۶

درباره جذب (absorption) و انعکاس (reflectance) گیاه، گزینه صحیح کدام است؟

۱) در طول موج‌های بالاتر از ۱۳ میکرومتر، انعکاس کمتری نسبت به محدوده مرئی، مشاهده می‌شود.

۲) بیشترین جذب توسط کلروفیل، در محدوده مادون قرمز نزدیک طیف الکترومغناطیسی اتفاق می‌افتد.

۳) بیشترین انعکاس گیاهان، در محدوده سیز طیف الکترومغناطیس مشاهده می‌شود.

۴) در گیاهان بیمار، انعکاس در محدوده قرمز طیف الکترومغناطیسی افزایش می‌یابد.

-۴۷

کدام یک از گزینه‌های زیر صحیح نمی‌باشد؟

- (۱) افزایش رطوبت، ضریب گسیل خاک در محدوده مایکروویو را کاهش می‌دهد.
- (۲) پدیده جذب و پخش در مورد تشعشعاتی که طول موجشان با اندازه ذرات اتمسفر برابر می‌باشد، با تئوری Mie توجیه می‌شود.
- (۳) پلاریزاسیون به ویژگی‌های موج ارسالی از سنجنده بستگی دارد، و انعکاس و پخش پدیده‌های روی زمین نمی‌توانند حالت آن را تغییر دهند.
- (۴) خاک خشک دارای طول جذب (absorption length) بیشتری نسبت به خاک مرطوب می‌باشد.

-۴۸

گزینه‌ی صحیح کدام است؟

- (۱) ارتفاع ماهواره‌های خورشید آهنگ، نمی‌تواند کمتر از ۵۰۰ کیلومتر باشد.

(۲) با افزایش تراخ بارش باران، جذب و پخش هر دو افزایش می‌یابد.

- (۳) چگالی الکترون (electron)، دارای مقدار بیشتری در شب نسبت به روز می‌باشد.

(۴) درباره پوشنش ابر در طول موج‌های مایکروویو، پخش بر جذب غالب است.

با توجه به وجود پدیده Layover در تصاویر SAR، در تصویر یک ساختمان:

(۱) ناحیه Layover، روش‌تر و در جلوی وجه مقابل سنجنده تشکیل می‌شود.

(۲) ناحیه Layover، روش‌تر و در عقب وجه مقابل سنجنده، تشکیل می‌شود.

(۳) ناحیه Layover، تاریک‌تر و در جلوی وجه مقابل سنجنده تشکیل می‌شود.

(۴) در مورد ساختمان‌ها، این پدیده اتفاق نمی‌افتد.

-۴۹

- در صورت وقوع سیل در یک منطقه جنگلی، جهت مانیتورینگ سیل، استفاده از کدام باند مایکروویو را در یک سیستم SAR پیشنهاد می‌کنید.

L (۱)

P (۲)

X (۳)

C (۴)

-۵۰

در یک سیستم رادار با وزن ترکیبی (SAR)، کدام پارامتر، باعث افزایش قدرت تفکیک تصویر در راستای آزیمут می‌شود؟

- (۱) طول موج پالس ارسال شده و پهنای باند آنتن SAR

(۲)

- (۴) طول دوزنۀ توکیبی

(۳) طول موج پالس ارسال شده

-۵۱

- در کالیبراسیون باندهای حرارتی که به صورت دو منبعی و از رابطه  $L = G \times DN + I$  انجام می‌شود، G و I، با کدام مورد محاسبه می‌شود؟

(۱) دو منبع عمق فضا و هدف داخلی دارای رادیانس و دمای معلوم

(۲) دو منبع سطح زمین و عمق فضا دارای رادیانس و دمای معلوم

(۳) دو منبع عمق فضا دارای رادیانس و دمای معلوم

(۴) دو منبع سطح زمین و هدف داخلی دارای رادیانس و دمای معلوم

کدام گزینه روابط شاخص تیاهی  $ndvi$  و شاخص برف  $ndsi$  را نشان می‌دهد؟

-۵۲

- باند سبز: G، باند قرمز: R، باند مادون قرمز نزدیک: NIR، باند مادون قرمز موج کوتاه: SWIR، باند مادون قرمز میانی: MIR

$$ndsi = \frac{MIR - G}{MIR + G} \quad , \quad ndvi = \frac{NIR - R}{NIR + R} \quad (۱) \quad ndsi = \frac{NIR - G}{NIR + G} \quad , \quad ndvi = \frac{SWIR - R}{SWIR + R} \quad (۲)$$

$$ndsi = \frac{SWIR - G}{SWIR + G} \quad , \quad ndvi = \frac{NIR - R}{NIR + R} \quad (۳) \quad ndsi = \frac{MIR + G}{MIR - G} \quad , \quad ndvi = \frac{NIR + R}{NIR - R} \quad (۴)$$

-۴۴ رابطه محاسبه ضریب کاپا در تخمین دقت طبقه‌بندی تصاویر چندطیفی با استفاده از ماتریس خطأ، (با تعداد نمونه‌های  $N$ ) کدام است؟

$$\kappa = \frac{N \sum_{i=1}^r x_{ii} - \sum_{i=1}^r (x_{i+} \times x_{+i})}{N^r - \sum_{i=1}^r (x_{i+} \times x_{+i})} \quad (2)$$

$$\kappa = \frac{N^r - \sum_{i=1}^r (x_{i+} \times x_{+i})}{N \sum_{i=1}^r x_{ii} - \sum_{i=1}^r (x_{i+} \times x_{+i})} \quad (4)$$

$$\kappa = \frac{\sum_{i=1}^r x_{ii} - \sum_{i=1}^r (x_{i+} \times x_{+i})}{N^r - \sum_{i=1}^r (x_{i+} \times x_{+i})} \quad (1)$$

$$\kappa = \frac{N^r - \sum_{i=1}^r (x_{i+} \times x_{+i})}{N \sum_{i=1}^r x_{ii} - \sum_{i=1}^r (x_{i+} \times x_{+i})} \quad (3)$$

-۴۵ برای محاسبه دمای روشنایی در سنجنده TM، از کدام گزینه استفاده می‌شود؟

(رادیاتس؛ L، ضریب گسیل؛  $\epsilon$  و مقادیر ثابت؛  $K_\gamma$  و  $K_c$ )

$$T_b = \frac{K_\gamma}{\ln(\frac{K_c}{L} - 1)} \quad (5)$$

$$T_b = \frac{K_\gamma}{\ln(\frac{L\epsilon}{K_c} - 1)} \quad (4)$$

$$T_b = \frac{K_\gamma}{\ln(\frac{L\epsilon}{K_\gamma} + 1)} \quad (3)$$

$$T_b = \frac{K_\gamma}{\ln(\frac{L\epsilon}{K_\gamma} + 1)} \quad (3)$$